

用半导体探测器 探测 α 粒子

〔法〕让·唐居伊 著
于立德 译

原子能出版社

内 容 目 錄

用 半 导 体 探 测 器 探 测 α 粒 子

[法] 让·唐居伊 著
于立德译

原 子 能 出 版 社

1975年·北京

印制: 北京人民出版社

版次: 一九七五年一月

印数: 1—10000 册

内 容 简 介

本书介绍用扩散结型和面垒型探测器在钚萃取厂探测厚源 α 粒子的问题。所用探测器包有云母薄膜，能同待分析液接触。测得的能谱很精确，能分辨同一种溶液中两种以上的 α 辐射体。同时还研究了在 $\beta-\alpha$ 场下测钚的问题。有 Am^{241} 共存时，钚的测量精确度达 $\pm 5\%$ ；当溶液里裂变产物的放射性为100居里/升时，能测出几毫克的 Pu^{239} 。叠加效应是用快放大线路加全耗尽薄探测器来减少的。还介绍了 $\alpha-\beta$ 粒子的甄别方法。

本书可供从事这方面工作的工人、技术人员参考。

著 者 唐 居 伊
译 者 于 立 德

Détection des particules α par semiconducteurs
application au contrôle de l'extraction du plutonium

CEA-R-3442, 1968

Jean Tanguy

用半导体探测器探测 α 粒子

[法] 让·唐居伊 著
于立德 译

原子能出版社出版

张家口地区印刷厂印刷

新华书店北京发行所发行·新华书店经售
(只限国内发行)



开本 $787 \times 1092 \frac{1}{32}$ • 印张 $4 \frac{9}{16}$ • 字数 100 千字

1976年2月北京第一版 · 1976年2月北京第一次印刷

印数 001—2,450 · 定价: 0.55 元

统一书号: 15175 · 038

目 录

绪 论	1
第一篇 用半导体探测器测量溶液里 α 辐射体的放射性	
第一章 用半导体探测器探测带电粒子	7
§ 1.1 探测器	7
1.1.1 P-N 结	7
1.1.2 面垒型探测器	12
§ 1.2 电子线路	12
1.2.1 电荷灵敏前置放大器	13
1.2.2 探测器和放大器的总噪声及能量分辨率	15
第二章 厚源的 α 辐射	19
§ 2.1 厚源的 α 谱	19
2.1.1 能谱举例	22
2.1.2 积分谱或甄别曲线	24
§ 2.2 加屏蔽后的厚源 α 谱	27
2.2.1 有吸收层时的能谱举例	30
2.2.2 有吸收层时的甄别曲线	32
2.2.3 计数率随甄别阈变化的近似式	33
2.2.4 吸收层和放射源里的最大射程和阻止本领的确 定	35
第三章 测量溶液里 α 辐射体浓度的装置	41
§ 3.1 装置的介绍	41
3.1.1 探头	41
3.1.2 液流迴路	43

§ 3.2 装置的特性	44
3.2.1 探测效率	44
3.2.2 计数率随浓度的变化	46
3.2.3 探测器防护的选择	49
结 论	50
第四章 溶液里 α 辐射体放射性的测量与不同能量 α 辐射体 的分离	51
§ 4.1 钚溶液的能谱	51
§ 4.2 马库尔工厂的结果	53
§ 4.3 分别确定在同一溶液里钚和镅的放射性强度	54
4.3.1 分界道的确定	56
4.3.2 镅与钚放射性强度的分别确定	60
4.3.3 钚-镅的测量精确度	62
§ 4.4 分别确定在同一溶液里铀和钚的放射性强度	64
结 论	67
第二篇 在强 β - γ 场下探测 α 粒子。快放大线路与 探测器匹配的研究	69
第五章 β - γ 射线对探测 α 的影响	71
§ 5.1 薄结的 β 吸收	71
5.1.1 吸收规律	71
5.1.2 平均能量损耗	73
§ 5.2 甄别曲线在外加偏压和 β 射线影响下的形变	74
5.2.1 外加偏压引起的甄别曲线位移	74
5.2.2 甄别曲线随 β 射线的位移	77
5.2.3 外加偏压和甄别阈的选取	79
§ 5.3 脉冲的叠加	80
5.3.1 计算由脉冲叠加产生的直流电压	82
5.3.2 计算平均电压的涨落	83
5.3.3 探测器反向电流的增加	84

§ 5.4 γ 射线的影响	84
结 论	86
第六章 电荷收集时间的计算	87
§ 6.1 非全耗尽结	89
6.1.1 由电子运动感应的电荷	89
6.1.2 由空穴运动感应的电荷	90
6.1.3 射程 $R \geq W$ 的情况	92
§ 6.2 能量损耗 $\frac{dE}{dX}$ 非常数时的情况	93
6.2.1 射程 $R = W$ 的情况	95
§ 6.3 全耗尽结的电荷收集	97
6.3.1 射程 $R < W$	98
6.3.2 射程 $R \geq W$	98
6.3.3 粒子进入探测器很薄处的情况 ($R \ll W$)	100
6.3.4 载流子迁移率随电场的变化	102
结 论	103
第七章 探测器输出脉冲的波形	104
§ 7.1 电压脉冲	104
7.1.1 探测器的等效电路	105
7.1.2 上升时间的测量	107
7.1.3 说明	110
§ 7.2 电流脉冲	111
7.2.1 电流脉冲的放大	112
7.2.2 探测器固有电容的影响	114
结 论	120
第八章 电流放大器与探测器匹配后的结果	121
§ 8.1 在强 $\beta-\gamma$ 场下的 α 计数	121
8.1.1 固体 α 源的探测	121
8.1.2 在裂变产物溶液里测钚	123

§ 8.2 利用脉冲波形甄别 α 和 β 粒子	126
8.2.1 α 和 β 的脉冲波形	129
8.2.2 甄别装置与应用	130
§ 8.3 带快电子线路的 α 谱仪	133
结 论	135
参考文献	138

80	辐射防护与放射性废物处理	8.1.6
82	辐射防护与放射性废物处理	8.2.6
83	辐射防护与放射性废物处理	8.3.6
84	辐射防护与放射性废物处理	8.4.6
85	辐射防护与放射性废物处理	8.5.6
86	辐射防护与放射性废物处理	8.6.6
87	辐射防护与放射性废物处理	8.7.6
88	辐射防护与放射性废物处理	8.8.6
89	辐射防护与放射性废物处理	8.9.6
90	辐射防护与放射性废物处理	8.10.6
91	辐射防护与放射性废物处理	8.11.6
92	辐射防护与放射性废物处理	8.12.6
93	辐射防护与放射性废物处理	8.13.6
94	辐射防护与放射性废物处理	8.14.6
95	辐射防护与放射性废物处理	8.15.6
96	辐射防护与放射性废物处理	8.16.6
97	辐射防护与放射性废物处理	8.17.6
98	辐射防护与放射性废物处理	8.18.6
99	辐射防护与放射性废物处理	8.19.6
100	辐射防护与放射性废物处理	8.20.6
101	辐射防护与放射性废物处理	8.21.6
102	辐射防护与放射性废物处理	8.22.6
103	辐射防护与放射性废物处理	8.23.6
104	辐射防护与放射性废物处理	8.24.6
105	辐射防护与放射性废物处理	8.25.6
106	辐射防护与放射性废物处理	8.26.6
107	辐射防护与放射性废物处理	8.27.6
108	辐射防护与放射性废物处理	8.28.6
109	辐射防护与放射性废物处理	8.29.6
110	辐射防护与放射性废物处理	8.30.6
111	辐射防护与放射性废物处理	8.31.6
112	辐射防护与放射性废物处理	8.32.6
113	辐射防护与放射性废物处理	8.33.6
114	辐射防护与放射性废物处理	8.34.6
115	辐射防护与放射性废物处理	8.35.6
116	辐射防护与放射性废物处理	8.36.6
117	辐射防护与放射性废物处理	8.37.6
118	辐射防护与放射性废物处理	8.38.6
119	辐射防护与放射性废物处理	8.39.6
120	辐射防护与放射性废物处理	8.40.6
121	辐射防护与放射性废物处理	8.41.6
122	辐射防护与放射性废物处理	8.42.6
123	辐射防护与放射性废物处理	8.43.6
124	辐射防护与放射性废物处理	8.44.6
125	辐射防护与放射性废物处理	8.45.6
126	辐射防护与放射性废物处理	8.46.6
127	辐射防护与放射性废物处理	8.47.6
128	辐射防护与放射性废物处理	8.48.6
129	辐射防护与放射性废物处理	8.49.6

绪 论

在钚萃取工厂里，连续测量溶液里 α 辐射体的放射性是检查萃取过程的一项重要工作。人们知道，在反应堆中， U^{238} 俘获 U^{235} 的裂变中子后，经过两次 β 衰变生成 Pu^{239} 。一部分 Pu^{239} 在辐射过程中会俘获中子变成 Pu^{240} ，它再俘获中子时，便形成 Am^{241} ，然后又形成了半衰期更短的其它元素： Cm^{241} ， $Cm^{243} \dots \dots$ ，其数量取决于辐照率。上述元素在反应堆里出现，使铀棒不仅含铀元素(U^{234} , U^{235} , U^{238})，还含钚、超钚元素和裂变产物。由于反应堆的放射性强度增加是有一定限制的，又由于生成的吸收中子的元素(Xe^{135} , Sm^{149})降低了堆的反应性。所以上述产物大量积累后，就要扰乱反应堆的运转，加上核燃料的贫化，因此需要定期地更换和再处理铀棒。法国的这种处理工作是在马库尔和阿格的萃取厂进行的。工厂的任务是分离元素，生产铀、钚和某些裂变产物(Gs^{137} , Sr^{90} , $Co^{60} \dots \dots$)。

铀、钚和裂变产物的分离是利用了磷酸三丁酯(TBP)溶剂的性质，采用化学方法进行的。TBP溶剂能够从水溶液里有选择地萃取六价铀和四价钚，而不萃取三价钚和裂变产物^[1]。

在分离流程的首端，先把除去镁包壳的铀棒放在硝酸里溶解，然后把溶液送到分离流程的第一循环。该循环的各级里，采用了溶剂逆向流动过程，使元素逐步得到分离。

另一个循环是使元素纯化和浓缩，最后得到金属态的元素。上述全部操作都是连续进行的，并且越来越自动化。为了检查和指导分离的进程，在各分离阶段上测量钚、铀和裂变产物的浓度是重要的。

关于钚的测量。钚浓度低时（低于1克/升），最精确的方法是测量钚辐射的 α 粒子（它的比放射性强度： 2.2×10^9 衰变/克Pu·秒）。钚浓度高（高于1克/升）时，自发裂变产生中子， α 与O¹⁷, O¹⁸, N¹⁴等的(α, n)反应也产生中子，这样使中子数目相当多，可用中子辐射测量法代替 α 测量法^[2]。

关于铀的测量。铀的 α 放射性强度只有钚 α 放射性强度的 10^{-5} ，最好采用更灵敏的密度测量法。裂变产物的探测是用 γ 计数或用 γ 谱仪实现的。

因为 α 粒子的射程很短（钚的 α 在水中的射程为40微米），加上 α 辐射体存在于硝酸溶液或TBP溶剂里，而硝酸或溶剂对多数探测器又有腐蚀作用，所以给测量 α 辐射带来了困难。为此，必须用很薄的屏蔽物（但能允许 α 穿过）把探测器保护起来，并把探测器放到最靠近溶液的地方去测量。此外，跟钚一起的还可能有其它 α 辐射体，如铀、锔、镅，它们辐射的 α 能量与钚的 α 能量接近，因此给探测钚 α 带来了很大困难。给测量带来更大困难的是存在裂变产物。裂变产物在分离流程首端有非常强的放射性，顺着流程下去逐渐减弱。裂变产物包含如下元素：Zr⁹⁵-Nb⁹⁵, Cs¹³⁷, Sr⁹⁰, Ce¹⁴⁴，它们的 β 或 γ 辐射不影响对 α 辐射的测量。

为了克服上述困难，研制出了各种仪器^[3-9]，总括起来可以分为两大类：一是用聚四氟乙烯(teflon)或聚乙烯邻苯二甲酸(mylar)膜把探测器保护起来，使它接触待分析液；

另一是使探测器与放射性液保持一定距离。马库尔厂用的仪器^[10]有个鼓轮装置，鼓轮下部浸在溶液里，它一转动就带出一薄层液体，从而限制了探测器接受 β - γ 放射性。

α 的测量几乎在所有情况下都是用闪烁探测器的。该探测器由硫化锌闪烁体和光电倍增管组成。闪烁体必须能做成很薄的片(厚度在 20—30 微米时才能消除 β - γ 对 α 测量的影响)，更重要的是，要确保它对 α 的发光效率比对 β 的高。

我们研究的目的是制出一种由半导体探测器组成的新型仪器，它的能量分辨率和线性都很好，比硫化锌闪烁探测器的测量精确。实际上，硫化锌闪烁体是由粘合剂(硝酸纤维)把硫化锌的颗粒粘合而成的集合体，所以它是非匀质的探测器：入射粒子的一部分能量可能损耗在两个 ZnS 颗粒之间的物质中，因此，探测器的输出脉冲与入射粒子能量不严格成正比例。探测效率取决于颗粒大小和集合体里粘合剂的含量^[11]。另外，光脉冲的下降时间常数(3×10^{-6} 秒)很大，在强 β - γ 射线下容易产生脉冲叠加。

然而，半导体探测器能够测出带电粒子的精确能谱，也能用电子学方法把同一溶液里的不同 α 辐射分开。由于电离电荷的收集时间非常短(10^{-9} — 10^{-8} 秒)，可用宽频带电子线路减少 β - γ 的脉冲叠加数。另外，可用外加偏压来选取探测层的有效厚度，这对于根据 β - γ 射线强度来选取相应的探测层有效厚度，带来了很大的方便。

以白垩飞来骨是海生生物骨骼化石的统称，其种类繁多，形态各异，产地也广。主要产于本区的有：1. 鱼龙骨：鱼龙是已灭绝的古生物，生活在三叠纪和二叠纪，是古代海生爬行动物，身体长而细，头部扁平，口大，齿多，尾部侧扁，后部膨大，具有强健的后肢，前肢短小，适于游泳，善于捕食鱼类。2. 恐龙蛋：恐龙是已灭绝的古生物，生活在中生代，是陆地上最大的爬行动物，身体庞大，四肢粗壮，尾长而有力，善于行走，善于捕食。3. 鱼化石：鱼化石是已灭绝的古生物，生活在古生代，是海洋中的鱼类，身体呈纺锤形，有鳞片，有腮，有鳍，有尾，善于游泳，善于捕食。4. 蛇化石：蛇化石是已灭绝的古生物，生活在古生代，是陆地上的爬行动物，身体细长，善于爬行，善于捕食。5. 鸟化石：鸟化石是已灭绝的古生物，生活在古生代，是陆地上的鸟类，身体轻盈，善于飞行，善于捕食。6. 蜗牛化石：蜗牛化石是已灭绝的古生物，生活在古生代，是陆地上的软体动物，身体柔软，善于爬行，善于捕食。7. 蜜蜂化石：蜜蜂化石是已灭绝的古生物，生活在古生代，是陆地上的昆虫，身体细长，善于飞行，善于捕食。8. 蝴蝶化石：蝴蝶化石是已灭绝的古生物，生活在古生代，是陆地上的昆虫，身体细长，善于飞行，善于捕食。9. 蜻蜓化石：蜻蜓化石是已灭绝的古生物，生活在古生代，是陆地上的昆虫，身体细长，善于飞行，善于捕食。10. 蜘蛛化石：蜘蛛化石是已灭绝的古生物，生活在古生代，是陆地上的昆虫，身体细长，善于飞行，善于捕食。

以上就是关于白垩飞来骨的一些基本知识。

希望对大家有所帮助，谢谢大家！

如果大家还有其他问题，欢迎继续提问！

第一篇

用半导体探测器测量溶液里 α 辐射体的放射性

本篇討論只存在 α 辐射体的情况，而不考虑 $\beta-\gamma$ 辐射体和裂变产物。

在核物理实验中，探测器主要类型有： $\beta-N$ 或 $\beta-T$ 和扩散型探测器。面空腔探测器对滤波移型硅支撑探测器，也适用于探测高能粒子，或者用来探测低能粒子（如质子流）。而多层玻璃扩散型探测器最近已应用于探测反粒子。不过研究的问题，是否与之有关，所以有效探测率要提高，只能使用面空腔或层状型探测器。

下面将不详细地叙述层状型探测器的工作原理，而回顾一下 $\beta-N$ 结构探测器的工作原理，因为层状型探测器的工作原理由此容易推导。

1.1.1. $\beta-N$ 结构

图 1-1 是层状型探测器的示意图。以二极管为基础，把不同类型的扩散层叠到二极管上。使得到一个二极管，例如，使扩散层的厚度为 1μ ，那么在二极管的阳极上就有一个电子，而在阴极上就有两个电子。如果扩散层的厚度为 10μ ，那么在二极管的阳极上就有一个电子，在阴极上就有三个电子。这样，就形成了电荷的积累。如果在二极管的阳极上加一个电压，那么在阴极上就有一个负电荷，即一个负离子。如果在二极管的阳极上加一个电压，那么在阴极上就有一个负电荷，即一个负离子。

。晴氣突寒林有

讀之不厭。本詩只論古事，未嘗及於懷。

蘇東坡全集

寒 風

半世如船葉散林中也。里來風雨蕭蕭。

尽里。能格地因提电场和电荷表达式是 P-N 结型探测器的参数，解的方程得

第一章 用半导体探测器探测带电粒子

§ 1.1 探 测 器

1949 年，麦凯^[12](Mackay)首先发明了半导体核粒子探测器。1960 年以来，这种探测器得到了非常迅速的发展，涌现出大批论文^[13-18]。锂扩散补偿技术的出现，使探测器获得了更大更厚的有效探测层。

在核物理实验中，探测器主要类型有：P-N 或 N-P 结扩散型硅探测器，面垒型探测器，锂漂移型硅或锗探测器。锂漂移型探测器用在谱仪上探测高能粒子，或者用来探测 γ 射线(锗探测器)；面垒型探测器和扩散型探测器特别适于探测低能重粒子。本文研究的问题，是在 $\beta-\gamma$ 共存时测量 α ，所以有效探测层要很薄，只能使用面垒型和扩散型探测器。

下面回顾一下 P-N 结型探测器的工作原理，面垒型探测器的工作原理由此容易推论。

1.1.1 P-N 结

P-N 结就是导电性相反的 P, N 两区之间的过渡层。把 P 型杂质扩散到 N 型硅里，便得到了 P-N 结。例如，使 N 型硅里含有五价的杂质 Pb, As, Sb (这些杂质带过剩的电子，称为施主杂质)；或使 P 型材料里含有三价的杂质 B, Al, Ga, In (这些杂质夺取了晶格上的一个电子，称为受主杂质)。

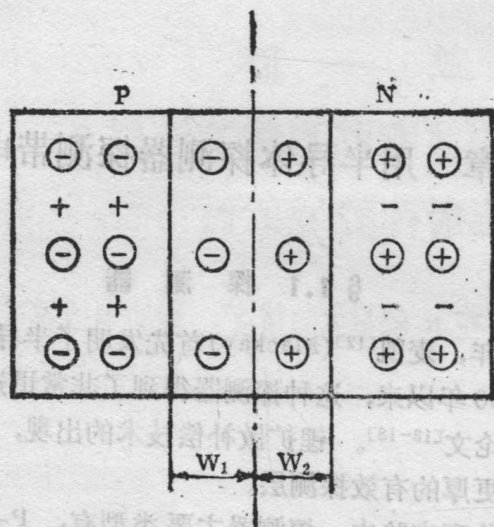


图 1 P-N 结

我们知道，N 区有多余的电子，P 区有多余的空穴，把 P, N 两区紧密接触时，N 区空穴浓度比 P 区低，结附近的空穴便由 P 区扩散到 N 区，同样地，N 区的电子向 P 区扩散。P 区的空穴对应着电离中心，空穴扩散走后，形成负的空间电荷。同理，N 区的电子扩散走后，形成正的空间电荷。这样，过渡层就出现了电场 E ， E 的方向与后来的载流子迁移方向相反，在空间电荷层的两边出现一扩散电压 V_D 。

a) 结电场

如果在结上加一个外加电压 V_a ，方向与扩散电压 V_D 相同，那么，就加强了内电场。该电场排斥两个区域 (P, N) 的自由载流子，使空间电荷层加厚。这个空间电荷层也叫做耗

尽层。粗略地假设电场和电压表达式是 P-N 结距离 X 的函数，解泊松方程得到

$$\frac{d^2V}{dX^2} = -\frac{\rho_V}{\epsilon \epsilon_0} \quad (1.1)$$

式中， ρ_V 为空间电荷密度，

对 N 区， $\rho_V = qN_D$

对 P 区， $\rho_V = qN_A$

q 是电子电荷； N_A 是每立方厘米内受主杂质的原子数； N_D 是每立方厘米内施主杂质的原子数。

空间电荷层里的电场形状如图 2 所示。

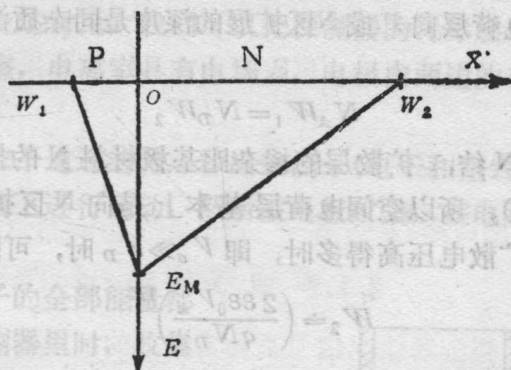


图 2 P-N 结电场

在 N 区， $E(X)$ 随 X 变化的表达式为

$$E(X) = \frac{dV}{dX} = E_M \left(1 - \frac{X}{W_2} \right) \quad (1.2)$$

在 P-N 结，电场有最大值；在 $X=W_2$ 处，电场为零。电场最大值为

$$E_M = -q \frac{N_A W_1}{\epsilon \epsilon_0} = -q \frac{N_D W_2}{\epsilon \epsilon_0}$$

式中, W_1 是 P 区的空间电荷层厚度; W_2 是 N 区的空间电荷层厚度。

将(1.2)式积分便得

$$E_M = \frac{2V}{W_2}$$

式中, $V = V_a + V_D$, V_a 为外加电压; V_D 为扩散电压。

该电场能使电荷在复合之前就被收集起来, 所以在探测粒子时十分重要。

b) 空间电荷层的厚度

为了阻挡粒子, 空间电荷层应有足够的厚度。已经证明, 空间电荷层向 P 或 N 区扩展的深度是同杂质浓度成反比的, 即

$$N_A W_1 = N_D W_2$$

在 P-N 结, 扩散层的掺杂比基极材料 N 的掺杂强得多 ($N_A \gg N_D$), 所以空间电荷层基本上是向 N 区扩展。当外加电压比扩散电压高得多时, 即 $V_a \gg V_D$ 时, 可以得到

$$W_2 = \left(\frac{2\epsilon\epsilon_0 V_a}{qN_D} \right)^{1/2}$$

或者

$$W_2 = (2\epsilon\epsilon_0 \mu_n V_a \rho)^{1/2}$$

式中, μ_n 为载流子在 N 型硅里的迁移率, $\mu_n = 1300$ 厘米²/伏·秒; ρ 为硅的电阻率 (以欧姆·厘米为单位)。

利用上述值, 并忽略 P 区的空间电荷厚度 W_1 , 便可得到空间电荷层厚度的表达式(采用实用制单位):

$$\text{对于 N 型硅, } W = 0.5(V_a \rho)^{1/2} \quad (1.3)$$

$$\text{对于 P 型硅, } W = 0.3(V_a \rho)^{1/2} \quad (1.4)$$

式中, V_a 以伏为单位; W 以微米为单位。